

[3] Голубцов А. А., Пилипецкий Н. Ф., Сударкин А. Н., Чудинов А. Н. // ДАН. 1987. Т. 296.

№ 4. С. 846—850.

[4] Кондратенко П. С., Орлов Ю. Н. // Письма в ЖТФ. 1987. Т. 13. Вып. 14. С. 862—865.

Институт проблем механики
АН СССР
Москва

Поступило в Редакцию

3 мая 1988 г.

В окончательной редакции
26 августа 1988 г.

04; 11

Журнал технической физики, т. 59, с. 6, 1988

АБЛЯЦИЯ ЭЛЕКТРОДОВ ПРИ ЭЛЕКТРОДИНАМИЧЕСКОМ УСКОРЕНИИ

Б. Б. Дьяков, Б. И. Резников

Эксперименты по электродинамическому ускорению свидетельствуют о заметном влиянии абляции направляющих электродов и элементов конструкции на конечную скорость плазмы [1—3]. В [4] для заданной зависимости тока i от времени t получены точные решения ряда задач динамики ускорения плазменного поршня, масса которого изменяется как $dm/dt = -ki$ или $dm/dt = \alpha i^2$ (k и α — коэффициенты пропорциональности, описывающие соответственно эрозию и абляцию). Определены эффекты переменной массы и предел достижимой скорости в зависимости от α . Ниже излагается подход к количественной оценке величины α , знание которой необходимо для различных физико-технических приложений.

Предполагаем, что на поверхности электродов и конструкции ускорителя общей площадью S_a падает от плазменного поршня лучистый поток плотностью $\sigma T_{\text{эфф}}^4$ (σ — постоянная Стефана—Больцмана, $T_{\text{эфф}}$ — эффективная температура излучения). Поглощаясь в тонком приповерхностном слое, он вызывает варывное разрушение материалов электродов и конструкции. Часть испарившегося материала, попадая в плазму, ионизуется и, подвергаясь действию электромагнитных сил, ускоряется дальше вместе с плазменным поршнем, увеличивая таким образом его массу. Закон сохранения энергии на разрушающейся поверхности имеет вид

$$\sigma T_{\text{эфф}}^4 S_a = \frac{dm}{dt} \Delta. \quad (1)$$

Здесь Δ — энергия, затрачиваемая на перевод единицы массы материала из исходного состояния в ненагретой твердой фазе в конечное состояние. Предполагая, что вместе с плазмой может ускоряться только материал, который имеет то же термодинамическое состояние, что и плазма внутри объема, примем $\Delta = H$, где H — энтальпия плазмы в объеме. Последняя включает энергию ионизации π , таким образом, много больше теплоги фазовых переходов и энергии, затрачиваемой на нагрев.

С другой стороны, принимая, что плазменный поршень находится в тепловом равновесии, имеем, согласно [5],

$$\sigma T_{\text{эфф}}^4 S = i^2 R, \quad (2)$$

где S — полная излучающая поверхность, R — сопротивление плазмы.

Комбинируя (1) и (2), получаем приведенную выше зависимость $dm/dt = \alpha i^2$, где

$$\alpha = \frac{R}{H} \frac{S_a}{S}. \quad (3)$$

Параметр α может отличаться в 2—3 раза в зависимости от соотношения S_a/S , однако из-за того, что материал электродов (например, медь) имеет почти в два раза меньший потенциал ионизации, чем продукты термического разрушения конструкционных изоляционных материалов, далее принимаем, что абляция преобладает с электродами, т. е. $S_a = 2lh$ и $S_a/S = (1 + a/h + a/l)^{-1}$, где a и h — расстояние между рельсами и их высота, l — продольный размер плазменного поршня в направлении движения.

Из приведенных выше соотношений очевидно, что α зависит от свойств плазмы, детали расчета которых приводятся в [5], где для плазменного поршня, находящегося в динамич-

ском и тепловом равновесии, физические характеристики плазмы определены как функции тока и параметра $T/T_{\text{эфф}}$. По сравнению с [5] при расчете ионизационного равновесия, термодинамических функций и электропроводности плазмы учитывались эффекты неидеальности и двухкратная ионизация. Расчеты проводились для медной плазмы. Из решения уравнений равновесия плазмы находились T , давление p , затем R , H , l и величина α , согласно определению (3).

На рис. 1 представлены полученные зависимости α для двух значений массы, размеров канала и параметра $T/T_{\text{эфф}}$. С возрастанием тока величина α убывает, так как сопротивление слабо зависит от тока [5], а удельная энталпия растет из-за повышения температуры и степени ионизации. Выход зависимости α (i) при $i \geq 300$ кА на пологий участок можно объяснить завершением двухкратной ионизации. В этой области размер геометрического сечения, определяющий давление, мало влияет на величину α (ср. кривые 1 и 2 на рис. 1). Увеличение же температуры (рис. 1, кривая 3) приводит к росту H и убыванию α . Эффект изменения массы виден из сравнения кривых 1 и 4 (рис. 1), где масса изменена в 5 раз. Положение кривой

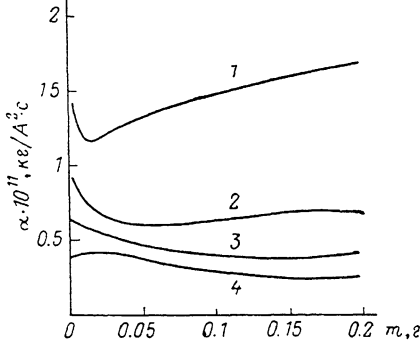
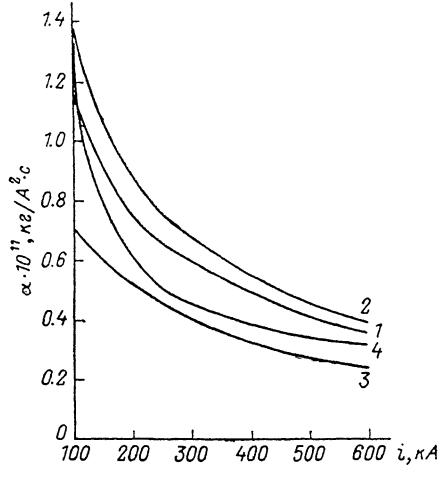


Рис. 1. Зависимость параметра аблации от тока.

m , г: 1—3 — 0.01, 4 — 0.05; $a=h$, мм: 1, 3, 4 — 10; 2 — 15; $T/T_{\text{эфф}}$: 1, 2, 4 — 1.5; 3 — 2.0.

Рис. 2. Зависимость параметра аблации от массы при $S_a=2h!$, $T/T_{\text{эфф}}=1.5$, $a=h=10$ мм.]
 i , кА: 1 — 100, 2 — 200, 3 — 300, 4 — 500.

4 объясняется возрастанием продольного размера плазменного поршня и снижением сопротивления плазмы. Более детально зависимость α (m) показана на рис. 2. Если изменение массы ведет к изменению степени ее ионизации, то эта зависимость становится немонотонной, но при токах выше 200 кА она слабая.

Таким образом, для устройств, рассчитанных на токи 500—600 кА, можно принять $\alpha \approx (0.25—0.4) \times 10^{-11}$ кг/А²·с. Для меньших токов, где термодинамическое состояние плазмы более чувствительно к параметрам задачи, α возрастает до $(1.0—1.5) \times 10^{-11}$ кг/А²·с.

В [2] рассматривается также зависимость $dm/dt = ki$. Приняв $k = ai$, можно заметить, что в рассмотренном диапазоне величин i , $T/T_{\text{эфф}}$, m значение k меняется слабее α и заключено в интервале 1.2—2 мг/Кл.

Вычисленные k и α определяют массу, присоединяемую к плазменному поршню при его движении. Общая масса, эродируемая с электродов, превышает присоединенную примерно в H/Q раз ($Q \approx 10^6$ кДж/кг — энергия на нагрев, плавление и испарение материала) и может быть примерно на два порядка выше. Таким образом, коэффициент k , соответствующий полной эрозии электродов, составляет 100—200 мг/Кл. Оба полученных нами значения k согласуются с величинами, используемыми в [2]. По нашему мнению, энергетический подход более физичен и целесообразно использовать зависимость (3).

Из анализа уравнений, описывающих динамику материальной точки переменной массы [4], выводим два предельных случая: 1) $\alpha i^2 t/m(0) \ll 1$, т. е. эффекты переменности массы мало влияют на движение ускоряемого объекта, 2) $\alpha i^2 t/m(0) \gg 1$, когда $t \gg m(0)$, как показано в [4], скорость стремится к предельному значению $v_a = L'/2\alpha$, явно не за-

висящему от тока и начальной массы (L' — погонная индуктивность электродов). При наличии сопротивления среды $v_{1im} < v_a$ и равно [4]

$$v_{1im} = \frac{2v_n}{1 + \sqrt{1 + \left(\frac{2v_a}{v_s}\right)^2}} = v_s \left(\sqrt{1 + \left(\frac{v_s}{2v_a}\right)^2} - \frac{v_s}{2v_a} \right), \quad v_s = i \sqrt{\frac{L'}{c_x A}}, \quad (4)$$

где v_s — предел скоростей, налагаемых сопротивлением среды плотностью ρ в отсутствие аблляции (c_x и A — коэффициент сопротивления и площадь сечения канала). Из [4] следует, что значение α определяет численную оценку предельно достижимой скорости.

Суммируем полученные результаты. При аблляции зависимость изменения ускоряемой массы имеет вид $dm/dt = ai^2$, где параметр аблляции a убывает с ростом тока и слабо зависит от массы плазмы. При токах 100—500 кА значение a находится в диапазоне $1.5 - 0.3 \times 10^{-11}$ кг/А²·с и при $i \geq 300$ кА может быть принято равным 4×10^{-12} кг/А²·с. Для зависимости $dm/dt = ki$ величина $k = ai$, определяющая изменение массы плазменного поршня, составляет около 2.0 мг/Кл. Полное тепловое разрушение электродов характеризуется коэффициентом зазории порядка 100—200 мг/Кл. При $t \gg t(0)$ скорость движения ограничена пределом, явно не зависящим от массы, а при отсутствии сопротивления среды также и от тока.

Литература

- [1] Хижняк Н. А., Сафонов Б. Г., Верещагин В. Л. // ЖТФ. 1968. Т. 38. Вып. 1. С. 40—47.
- [2] Сафонов Б. И. Автореф. канд. дис. М., 1987. 16 с.
- [3] Кондратенко М. М., Лебедев Е. Ф., Осташев В. Е. и др. // ТВТ. 1988. Т. 26. № 1. С. 159—164.
- [4] Дьяков Б. Б., Резников Б. И. // ЖТФ. 1988. Т. 58. Вып. 1. С. 136—143.
- [5] Дьяков Б. Б., Резников Б. И. // ТВТ. 1987. Т. 25. № 1. С. 142—150.

Физико-технический институт
им. А. Ф. Иоффе АН СССР
Ленинград

Поступило в Редакцию
19 мая 1988 г.

07: 12

Журнал технической физики, т. 59, в. 6, 1989

ПОДАВЛЕНИЕ ДИФФУЗИОННОЙ ТЕРМОДЕСТРУКЦИИ ГОЛОГРАММ НА РЕОКСАНЕ

А. В. Вениаминов, Н. С. Шелехов, А. О. Ребезов, Е. И. Акимова,
А. П. Попов, В. Б. Кабанов

Реоксан — объемная фазовая регистрирующая среда, представляющая собой раствор замещенного антрацена и красителя-сенсибилизатора в твердом прозрачном полимере, обычно в полиметилметакрилате (ПММА). Запись голограмм на этом материале обусловлена изменением показателя преломления при сенсибилизированном фотоокислении антрацена, спектральная область чувствительности среды охватывает весь видимый диапазон [1, 2].

Использование реоксана для создания голографических оптических элементов [3] и систем оптической памяти [4] предъявляет жесткие требования к стабильности зарегистрированных голограмм, в первую очередь к их дифракционной эффективности. Ее изменение после записи голограммы может происходить в результате различных по своей природе процессов: 1) темновой химической трансформации молекул антрацена и его фотооксида с образованием продуктов, отличающихся от исходных спектрами поглощения и, следовательно, мольной рефракцией; 2) диффузионного перемешивания молекул, находящихся в узлах и цучностях зарегистрированной интерференционной картины, которое приводит к уменьшению амплитуды модуляции показателя преломления (n_1); 3) неоднородной деформации материала под влиянием находящегося в нем при записи кислорода [5], а также в результате изменения влажности. Влияние последнего фактора на стабильность пропускающих голограмм, записанных в симметричной схеме, несущественно, а вклад первых двух в изменение n_1 синусоидальных решеток может быть описан выражением [6]

$$n_1(t) = (a + b \exp(-kt)) \exp\left(-\frac{4\pi^2 Dt}{\Lambda^2}\right), \quad (1)$$